

ДИНАМИЧЕСКОЕ ПОЗИЦИОНИРОВАНИЕ ПОДВОДНЫХ АППАРАТОВ С ИСПОЛЬЗОВАНИЕМ ВИЗУАЛЬНОГО УПРАВЛЕНИЯ

Б.А. Скороход

Севастопольский государственный университет
Россия, 299053, Севастополь, Университетская, 33
E-mail: boris.skorohod@mail.ru

А.Д. Ляшко

Севастопольский государственный университет
Россия, 299053, Севастополь, Университетская, 33
E-mail: lyasko.sasha@mail.ru

Ключевые слова: автономные подводные аппараты, динамическое позиционирование, визуальное сервоуправление.

Аннотация: Рассмотрена задача динамического позиционирования (ДП) автономных подводных аппаратов (АПА) в горизонтальной плоскости (ГП) с использованием монокулярной видеокамеры. Управление АПА формируется по информации, поступающей с камеры о положении центра тяжести заданного объекта или центра тяжести выбранных ключевых точек дна.

1. Введение

Различные подходы к решению задач ДП АПА, работающих вблизи морского дна или стационарных подводных сооружений и использующих в качестве датчиков видеокамеры, широко обсуждаются в литературе [1-3]. Отметим следующие основные проблемы, связанные с разработкой систем управления для их решения: 1. Искажения подводных изображений, обусловленные неравномерностью освещенности, мутностью, пузырьками, быстрым затуханием, рассеиванием и преломлением света, ограничением частотного спектра света. 2. Недостаточная информативность морского дна существенно усложняет выделение на нем робастных ключевых точек. 3. Действие неконтролируемых возмущений подводной среды, приводящих к появлению неопределенностей в задании математических моделей АПА

В настоящей работе предполагается, что АПА с неполным приводом может перемещаться в ГП под действием силы тяги и поворотного момента. В качестве возмущающего воздействия рассматривается постоянное подводное течение. ДП проводится с использованием монокулярной видеокамеры наблюдающей за выделенными объектами. Система управления конструируется на основе IBVS подхода [4], опираясь на методы теории устойчивости. Предложены алгоритмы управления ДП АПА в окрестности заданной точки над морским дном не требующие оценки направления и скорости течения.

2. Постановка задачи

Модель движения АПА, перемещающегося под действием силы тяги и поворотного момента в ГП с учетом морского течения, может быть получена используя инерциальную $\{n\}$ и связанную $\{b\}$ системы координат (рис. 1, а). Кинематические и динамические уравнения такой модели описываются уравнениями [5]

$$(1) \quad \dot{\boldsymbol{\eta}} = R(\boldsymbol{\eta})\mathbf{v}, M\dot{\mathbf{v}}_r + C(\mathbf{v}_r)\mathbf{v}_r + D\mathbf{v}_r = \boldsymbol{\tau},$$

где $\boldsymbol{\eta} = (x, y, \psi)^T$, x, y – координаты центра масс АПА в $\{n\}$, ψ – курсовой угол, $\mathbf{v} = (u, v, r)^T$, u, v, r – продольная, поперечная и угловая скорости АПА в $\{b\}$, $\boldsymbol{\tau} = (\tau_u, 0, \tau_r)^T$ – вектор управляющих воздействий, $\mathbf{v}_r = (u - u_c, v - v_c, r)^T = (u_r, v_r, r)^T$ – скорость АПА относительно водной среды, u_r, v_r – линейные скорости АПА относительно течения, u_c, v_c – проекции постоянной скорости течения в $\{b\}$,

$$R(\psi) = \begin{pmatrix} c\psi & -s\psi & 0 \\ s\psi & c\psi & 0 \\ 0 & 0 & 1 \end{pmatrix}, M = \begin{pmatrix} m_{11} & 0 & 0 \\ 0 & m_{22} & m_{23} \\ 0 & m_{32} & m_{33} \end{pmatrix}, s\psi = \sin(\psi), c\psi = \cos(\psi),$$

$$D = \begin{pmatrix} d_{11} & 0 & 0 \\ 0 & d_{22} & d_{23} \\ 0 & d_{32} & d_{33} \end{pmatrix}, C(\mathbf{v}_r) = \begin{pmatrix} 0 & 0 & -m_{22}v_r - m_{23}r \\ 0 & 0 & m_{11}u_r \\ m_{22}v_r + m_{23}r & -m_{11}u_r & 0 \end{pmatrix}.$$

Рассмотрим АПА с монокулярной камерой, наблюдающей морское дно (рис. 1, а) и описываемый моделью заданной системой (1). Требуется выбрать управление $\boldsymbol{\tau}$, так чтобы АПА оставался в окрестности заданной точки в течение произвольного промежутка времени при действии неконтролируемого постоянного течения, наблюдая за положением центроида s_c объекта (рис. 1, б) или центроида выбранных ключевых точек на морском дне (рис. 1, в).

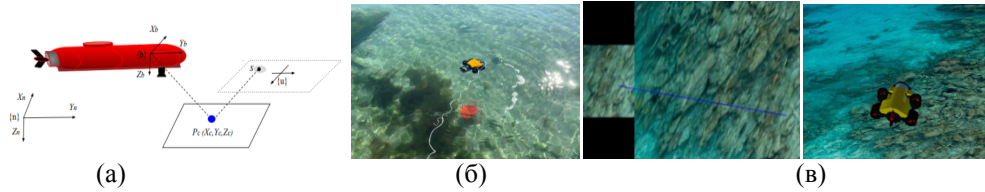


Рис. 1. (а) АПА с видеокамерой; (б), (в) ДП относительно центроида объекта и ключевых точек, соответственно (Севастопольская бухта, 2023 г.).

3. Кинематический регулятор

На кинематическом уровне скорости u_r, r рассматриваются в качестве управляющих воздействий. Цель управления состоит в регулировании координат x, y, ψ , обеспечивая ДП АПА в окрестности заданного положения.

Пренебрегая поперечной скоростью v_r , уравнения кинематики в (1) в скалярной форме могут быть представлены в виде

$$(2) \quad \dot{x} = c\psi u_r + v_{cx}, \dot{y} = s\psi u_r + v_{cy}, \dot{\psi} = r,$$

где $v_{cx} = u_c c\psi - v_c s\psi$, $v_{cy} = u_c s\psi + v_c c\psi$, $u_c = V_c c(\beta_c - \psi)$, $v_c = V_c c(\beta_c - \psi)$, V_c – скорость течения, β_c – угол, определяющий направление течения.

Обозначим координаты центроида в начальном положении камеры $s_c = (x_c, y_c)^T$ и $s = (x, y)^T$ – текущем. Тогда $s = R^T(x_c - x, y_c - y)^T = (p, q)^T e = s - s_c = (e_x, e_y)^T$.

Использование IBVS подхода [4] при управлении продольной и угловой скоростями камеры совместно с пропорционально-интегральным регулятором дает

$$(3) \quad \boldsymbol{\tau} = (u_r, r)^T = -L^{-1}(s, Z_c)(k_p e + k_i \sigma(1, 0)^T), \dot{\sigma} = e_x,$$

где $k_p = \text{diag}(k_{p1}, k_{p2}) > 0$, $k_i > 0$ – скаляр, Z_c – расстояние от центра изображения до дна, $L(s, Z_c)$, $L^{-1}(s, Z_c)$ – матрица Якоби изображения и ее обратная

$$L(s, Z_c) = \begin{pmatrix} -1/Z_c & q \\ 0 & -p \end{pmatrix}, L^{-1}(s, Z_c) = - \begin{pmatrix} Z_c & Z_c q/p \\ 0 & 1/p \end{pmatrix}.$$

Преобразовывая (2), (3) с помощью замены координат
(4) $x_c - x = \rho c(\psi + \beta), y_c - y = \rho s(\psi + \beta), \rho = ((x_c - x)^2 + (y_c - y)^2)^{1/2}$,
получим

$$(5) \quad \dot{\rho} = -u_r c \beta - V_c c(\beta + \psi - \beta_c), \dot{\beta} = -r + u_r s \beta / \rho + V_c s(\beta + \psi - \beta_c) / \rho,$$

$$\dot{\psi} = r,$$

$$(6) \quad L^{-1}(s, Z_c) = - \begin{pmatrix} Z_c & Z_c t g \beta \\ 0 & 1/(\rho c \beta) \end{pmatrix}, e = \begin{pmatrix} \rho c \beta - x_c \\ \rho s \beta - y_c \end{pmatrix} = \begin{pmatrix} e_x \\ e_y \end{pmatrix}.$$

Предполагается, что направление течения примерно известно и в момент получения команды на выполнение ДП носовая часть АПА направлена примерно навстречу течению. Управление должно обеспечивать небольшие значения или стремление к нулю отклонений $|\rho - \rho_c|, |\beta - \beta_c|, |\psi - \beta_c + \pi|$ при $t \rightarrow \infty$.

Используя векторно-матричные обозначения, (5) и (6) получим замкнутую систему
(7) $\dot{z} = A(z)L^{-1}(s, Z_c)(k_p e + k_i \sigma(1, 0)^T) + \xi(z)V_c, \dot{\sigma} = e_x$.

$$z = (\rho, \beta, \psi)^T, A(z) = \begin{pmatrix} -c\beta & 0 \\ \frac{1}{\rho} s \beta & -1 \\ 0 & 1 \end{pmatrix}, \xi(z) = \begin{pmatrix} -c(\psi + \beta - \beta_c) \\ \frac{1}{\rho} s(\psi + \beta - \beta_c) \\ 0 \end{pmatrix}.$$

Из вида правых частей системы (7) и соотношений
(8) $e_x^d = \rho_d c \beta_d - x_c = 0, e_y^d = \rho_d s \beta_d - y_c = 0, \psi_d = \beta_c + \pi$
следует, что при $V_c = 0, \sigma = 0$ она имеет решение, обеспечивающее ДП АПА
(9) $\rho_d = (x_c^2 + y_c^2)^{1/2}, \beta_d = \psi_d + \arctg(y_c/x_c), \psi_d = \beta_c - \pi$.

Теорема 1. Пусть $\rho > \varepsilon_\rho, 0 < \beta, < \pi/2$, где $\varepsilon_\rho > 0$ – произвольно малая постоянная. Тогда: 1. Если $\sigma = 0$, то существует диагональная матрица $k_p > 0$ такая, что решение (9) системы (7) будет устойчиво при постоянно действующем возмущении V_c и для всех решений начинающихся достаточно близко к (9) $e_y \rightarrow 0$, при $t \rightarrow \infty$. 2. Существуют диагональная матрица $k_p > 0$ и скаляр $k_i > 0$ такие, что для всех решений начинающихся достаточно близко к (9) $\rho \rightarrow \rho_c, \beta \rightarrow \beta_c, \psi \rightarrow \beta_c - \pi, \tau = (u_r, r)^T \rightarrow (V_c, 0)^T$ при $t \rightarrow \infty$.

Комментарий 1. В преобразованной системе (7) ψ оказывает воздействие на систему только через возмущение V_c , которое предполагается достаточно малым.

Комментарий 2. Из доказанной теоремы следует, что для компенсации действия двух проекций постоянного течения v_{cx}, v_{cy} в (2) достаточно использовать только один интегратор. Роль второго интегратора выполняет третье уравнение.

Комментарий 3. В отличие от [6], предложенный закон управления (3) не зависит от скорости и направления течения.

4. Динамический регулятор

Рассмотрим нелинейную динамическую модель торпедообразного АПА с нос\корма симметрией, движущегося при ДП, полагая в (1) матрицы M и D диагональными [5]

$$(10) \quad \dot{z} = A(z)q + \xi(z)V_c, \dot{u}_r = a_u u_r + c_1 r v_r + b_u \tau_u, \dot{v}_r = a_v v_r + c_2 r u_r + c_3 u_r v_r,$$

$$\dot{r} = a_r r + c_4 u_r v_r + b_v \tau_r, q = (u_r, v_r, r)^T$$

под действием управления

$$(11) \quad \tau = (\tau_u, \tau_r)^T = \frac{1}{\varepsilon} \{L^{-1}(s, Z_c)(k_p e + k_i \sigma(1, 0)^T - (u_r, r)^T\}, \dot{\sigma} = e_x,$$

где $\varepsilon > 0$ – малый параметр. Нас интересуют условия устойчивости решения

$$(12) \quad \rho_d = (x_c^2 + y_c^2)^{1/2}, \beta_d = \arctg\left(\frac{y_c}{x_c}\right), \psi_d = \beta_c - \pi, u_{rd} = V_c, v_{rd} = 0, r_d = 0$$

замкнутой системы (10).

Теорема 2. Пусть $\rho > \varepsilon_\rho$, $0 < \beta, < \pi/2$, $a_r < 0$, где $\varepsilon_\rho > 0$ – произвольно малая постоянная и параметры k_p, k_i выбраны так, что решение (9) системы (7) асимптотически устойчиво и величина ε достаточно мала. Тогда для всех решений (10), начинающихся достаточно близко к (12) $\rho \rightarrow \rho_c, \beta \rightarrow \beta_c, \psi \rightarrow \beta_c - \pi, u_r \rightarrow V_c, v_r \rightarrow 0, r \rightarrow 0$ при $t \rightarrow \infty$.

Доказательство теоремы основано на использовании методов разделения движения в сингулярно возмущенных системах на бесконечном интервале времени [7]. Отметим, что комментарии 1-3 к теореме 1 остаются справедливыми.

5. Компьютерное моделирование

На рис. 2 показаны результаты моделирования. Параметры АПА [8], камеры, регулятора и координаты центроида приведены в таблице 1. Видно, что АПА возвращается в исходную точку после переходного процесса, а угол рыскания стремится к 20° при направлении течения в 200° . Т.е., продольная ось АПА параллельна течению, а нос направлен навстречу течению. Кроме того, $u_r = V_c, v_r = r = 0$.

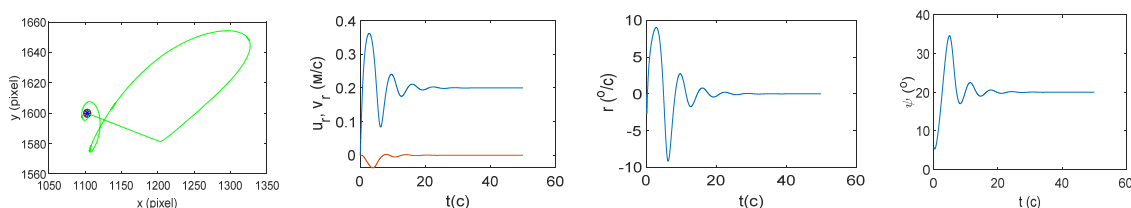


Рис. 2. Траектория движения, линейные и угловые скорости, курсовой угол АПА.

Таблица 1. Параметры для моделирования.

Параметры модели				Параметры камеры	Координаты центроида	Параметры регулятора и начальные условия
m_{11}	47.5	d_{11}	13.5	= $5.6e-6$ мм; $u_0 = 960$; $v_0 = 600$; $f = 0.008$ мм.	(0.1 0.7 1) м.	$k_p = \text{diag}(1,1), k_i = 0.4,$ $V_c = 0.2$ м/с, $\beta_c = 200^\circ,$ $\psi_0 = 5.3^\circ, = 0.0013.$
m_{22}	94.1	d_{22}	50.2			
m_{33}	13.6	d_{33}	27.2			
$m_{23},$ m_{32}	0	$d_{23},$ d_{32}	0			

6. Заключение

Рассмотрена задача ДП АПА в горизонтальной плоскости с использованием монокулярной видеокамеры. Управление АПА формируется по информации, поступающей с камеры о положении центроида заданного объекта или центроида выбранных ключевых точек дна. Система управления конструируется на основе IBVS подхода, опираясь на методы теории устойчивости. Предложены алгоритмы управления ДП АПА в окрестности заданной точки над морским дном не требующие оценки направления и скорости течения.

Работа выполнена при финансовой поддержке Министерства науки и высшего образования Российской Федерации, шифр темы FEFM-2024-0015.

Список литературы

1. Sørensen A.J. A survey of dynamic positioning control systems // *Annual Reviews in Control*. Trondheim, Norway, 2011. Vol. 35, No. 1. P. 123-136.
2. Chao-Lin K., Long-Yi C., Ying-Che K., Chia-Hung L., Kuei-Mei L. Visual servo control for the underwater robot station-keeping // *International Conference on Applied Electronics*. Kaohsiung, Taiwan. 2017. P. 1-4.
3. Gao J., Proctor A., Bradley C. Adaptive neural network visual servo control for dynamic positioning of underwater vehicles // *Neurocomputing*. 2015. Vol. 167. P. 604-613.
4. Chaumette F., Hutchinson S. Visual servo control. I. Basic approaches // *IEEE Robotics Automation Magazine*. 2006. Vol. 13, No. 4. P. 82-90.
5. Fossen T.I., *Marine Control Systems, Guidance, Navigation and Control of Ships, Rigs and Underwater Vehicles*. Marine Cybernetics. Trondheim, Norway, 2002. 570 p.
6. Agular A.P., Pascoal A.M. Dynamic positioning and way-point tracking of underactuated AUVs in the presence of ocean currents // *International Journal of Control*. 2007. Vol. 80, No. 7. P. 1092-1108.
7. Lobry C., Sari T., Touhami A. On Tykhonov's theorem for convergence of solutions of slow and fast systems // *Electronic J. Differential Equat.* 1998. No. 19. P. 1-22.
8. Zaopeng D., Wan L., Yueming L. Point Stabilization for an Underactuated AUV in the Presence of Ocean Currents // *International Journal of Advanced Robotic Systems*. 2015. Vol. 12, No. 7.